

تجزیه و تحلیل اکتشافی و تعیین ارتباط کانه‌زایی با گسل‌ها به عنوان کلید اکتشافی جدید در کانسار مس بشنه سیرجان

رضا احمدی^(۱)* و سید جواد حسینی شهرکی^۲

۱. استادیار گروه مهندسی معدن، دانشکده مهندسی علوم زمین، دانشگاه صنعتی اراک
۲. دانشجوی کارشناسی گروه مهندسی معدن، دانشکده مهندسی علوم زمین، دانشگاه صنعتی اراک

تاریخ دریافت: ۱۴۰۰/۱۱/۱۵

تاریخ پذیرش: ۱۴۰۱/۰۱/۲۰

چکیده

کانسار مس بشنه با مساحت ۵/۰ کیلومتر مربع در استان کرمان و در فاصله ۸۰ کیلومتری غرب شهر سیرجان قرار دارد. در این کانسار فلزی با ارزش، فعالیت‌های اکتشافی متنوعی همانند عملیات دورستنجی، پیمایش‌های صحرایی، اکتشافات رژووفیزیکی، اکتشافات رژوشهیمیایی سطحی شامل نمونه‌برداری سطحی و تجزیه شیمیایی ۹۴ نمونه، حفر و برداشت سه رشته تراشه همراه با برداشت و تجزیه شیمیایی تعداد شش نمونه و نیز حفر هشت حلقه گمانه اکتشافی عمیق با مجموع طول کلی ۴۱۴/۵ متر صورت گرفته است. همچنین براساس عملیات دورستنجی و زمین‌شناسی ساختاری پهنه، تمام گسل‌های موجود در این پهنه به نقشه درآمدۀ اند. در پژوهش حاضر تمام فعالیت‌های اکتشافی انجام شده در کانسار مس بشنه، تجزیه و تحلیل شده و ارتباط آنها با گسل‌های موجود در پهنه، مورد بررسی قرار گرفت. برای دست‌یابی به هدف، تکنیک‌های مختلف همانند رسم نمودار گل سرخ گسل‌ها، پردازش داده‌های مقاومت ویژه و باریزی برداشت مستطیلی و مدل‌سازی وارون هموار داده‌های پنج پروفیل دوقطبی-دوقطبی، رسم نقشه‌های هم عیار نمونه‌برداری‌های سطحی و تراشه‌ها و تهییه مدل سه بعدی عیارسنجی گمانه‌های اکتشافی پهنه بکار گرفته شد. نتایج نشان داد که محل‌های کانه‌زایی در ارتباط مستقیم با شکستگی‌ها و گسل‌های موجود در پهنه هستند و روند بیشتر رگه‌های کانه‌دار در راستای گسل‌های اصلی است. در پایان، به منظور تکمیل اکتشافات مراحل قبلی و شناخت بهتر کانسار، براساس تمام مطالعات انجام شده و تلفیق نتایج حاصل به عنوان یک راهنمای کلید اکتشافی، حفاری چند حلقه گمانه اکتشافی جدید پیشنهاد شد.

واژه‌های کلیدی: بشنه سیرجان، کانه‌زایی، گسل، مدل‌سازی.

مقدمه

کانسارهای مس ازجمله با ارزش‌ترین کانسارهای فلزی هستند و دارای پیچیدگی‌های زیادی و ساختاری زیادی نیز می‌باشند. به طور کلی کانسارهای مس به انواع اسکارن‌های مس دار، مس ماسیوس-ولفیدی، مس رسوی استراتی باند، مس رگه‌ای و مس پورفیری دسته‌بندی می‌شوند

کانی‌پور و سعادت، ۱۳۹۶). بعضی از کانسارهای با ارزش مس از نوع رگه و رگچه‌ای و پرکننده فضاهای خالی هستند و اغلب دارای گسترش کم و عیار نسبتاً بالایی می‌باشند. اکتشاف مستقیم این کانسارها به ویژه در شرایطی که ماده معدنی ناپیوسته، قطعه قطعه، بریده بریده و در اعمق زیاد واقع باشد، از طریق حفر گمانه‌های اکتشافی، عملیاتی

* نویسنده مرتبط: Rezahmadi@gmail.com

داده‌ها و تفسیر نتایج می‌باشد. این کار به دلیل پیچیدگی‌های موجود، زمان بر بودن و مشکل بودن محاسبات مربوطه، همواره با استفاده از نرم‌افزارهای تخصصی، دقیق‌تر و سریع‌تر انجام می‌شود. به عنوان نمونه احمدی و رضاپور (۱۳۹۸) مدل‌سازی داده‌های ژئوفیزیکی مغناطیس‌سنجدی، قطبش القابی و مقاومت ویژه را برای کانسار مس پورفیری نارباغی شمالی ساوه انجام دادند. آنها در گام نخست بر روی داده‌های مغناطیسی، پردازش‌های مورد نیاز را به منظور بر جسته‌سازی Oasis montaj را با استفاده از نرم‌افزار Res2dinv انجام دادند ژئوالکترونیکی را با استفاده از نرم‌افزار Encom ModelVision و برآسانس تفسیر کیفی مقاطع ژئوفیزیکی باریزدیری، مقاومت ویژه و فاكتور فلزی پروفیل‌ها، موقعیت بهینه حفاری را بر روی هر پروفیل پیشنهاد کردند. همچنین احمدی و شریعتی (۱۳۹۹) مدل‌سازی مصنوعی دوبعدی و سه بعدی اهداف هندسی گوناگون معرف ساختارهای زمین‌شناسی متداول را با استفاده از نرم‌افزار Encom ModelVision انجام دادند. آنها تأثیر عوامل مختلف همانند جنس، اندازه و ابعاد، عمق دفن و شکل هندسی توده و نیز فواصل برداشت پروفیلی را بر روی پاسخ توده‌های مغناطیسی به شکل کروی، بیضوی و خطی که معرف تمام انواع اشکال و ساختارهای زمین‌شناسی و معدنی هستند، مورد بررسی قرار دادند. مدل‌سازی داده‌های عیارسنجدی عملیات حفاری‌های عمیق با استفاده از نرم‌افزارهای تخصصی نیز از جمله فعالیت‌های مرحله اکتشاف می‌باشد. به عنوان مثال احمدی و افضلی (۱۳۹۶) برای به تصویر کشیدن مطلوب ماده معدنی سرب و روی در کانسار ارگیجه Rockworks استفاده کردند. آنها برای این منظور از تمام اطلاعات اکتشافی موجود شامل اکتشافات غیرمستقیم (برداشت‌های ژئوفیزیکی) و مستقیم (گمانه‌های عمیق) بهره برند.

در پژوهش حاضر تمام فعالیت‌های اکتشافی انجام شده در کانسار مس بشنۀ سیرجان، تجزیه و تحلیل شده و ارتباط آنها با گسل‌های موجود در پهنه، بررسی شده است. در سایه

پرهزینه و زمان بر می‌باشد. به همین دلیل تعیین موقعیت بهینه نقاط حفاری اکتشافی از اهمیت به سزاپی برخوردار است. در چنین کانسارهایی همواره یافتن درزه و شکاف‌ها، شکستگی‌ها و گسل‌های دارای کانه‌زایی و یا به نحوی مرتبط با کانه‌زایی، بسیار مهم است. به منظور صرفه‌جویی در زمان و هزینه، همواره برآسانس نتایج حاصل از مراحل پی‌جوبی و اکتشاف مقدماتی شامل فعالیت‌های دور‌سنجدی، مطالعات زمین‌شناسی صحرایی، اکتشافات سطحی و عملیات اکتشاف غیرمستقیم ژئوفیزیکی و ژئوشیمیایی، در مرحله اکتشاف نیمه‌تفصیلی گمانه‌های اکتشافی بر روی بی‌亨جاري‌ها به عنوان مناسب‌ترین نقاط حفاری پیشنهاد و پیاده‌سازی می‌شوند.

شناخت کامل یک کانسار، مستلزم انجام یک سری فعالیت‌های اکتشافی، عملیات پردازش، مدل‌سازی و تجزیه و تحلیل داده‌ها و اطلاعات اکتشافی است. در تمام مراحل عملیات اکتشاف از مرحله پی‌جوبی و شناسایی مقدماتی تا اکتشافات تفصیلی، مدل‌سازی داده‌ها و تجزیه و تحلیل آنها صورت می‌گیرد. اگرچه ماهیت داده‌های اکتشافی با یکدیگر متفاوت است، اما تمامی آنها در فرآیند اکتشاف از اهمیت ویژه‌ای برخوردارند. در مرحله اکتشاف کانسارها تمام پارامترهای کیفی همانند ساختارهای زمین‌شناسی موجود در پهنه، سنگ‌شناسی و کانه‌زایی و پارامترهای کمی مانند داده‌های برداشت ژئوفیزیکی و داده‌های عیارسنجدی نمونه‌ها مورد توجه هستند. بدیهی است که هرچه مجموعه داده‌های به دست آمده و اطلاعات اکتشافی، بیشتر، دقیق‌تر و کامل‌تر باشند، دقیق‌تر مدل‌سازی و تجزیه و تحلیل فرآیند، کامل‌تر شده و نتایج به واقعیت نزدیک‌تر خواهد بود (احمدی و افضلی، ۱۳۹۶؛ Shahrabi et al., 2017). در بسیاری از روش‌های اکتشاف از جمله اکتشافات ژئوفیزیکی، مدل‌سازی داده‌ها اجتناب‌ناپذیر است (Aliluo et al., 2018).

روش‌های ژئوفیزیکی مغناطیس‌سنجدی¹، مقاومت ویژه² و قطبش القابی³ مفیدترین روش‌ها برای اکتشاف بخش‌های پنهان کانه‌زایی کانسارهای مس هستند (نوروزی و غلامی، ۱۳۸۴؛ کلاغری، ۱۳۸۹؛ Keary, 2002؛ Milsom, 2003؛ Reynolds, 2011).

1. Magnetic survey

2. Resistivity (Rs)

3. Induced Polarization (IP)

هیدروکسیدهای آهن و منگنز به رنگ‌های قرمز، زرد تا قهوه‌ای و رگه‌های سیلیسی همراه با کانه‌زایی مس می‌باشد (شکل ۲). رگه‌های متعدد سیلیسی واحدهای سنگی را در گستره کانسار قطع کرده و نفوذ رگه‌های سیلیسی به درون شیسته‌ها باعث سیلیسی شدن آنها در محله‌ای کانه‌زایی شده است.

کانه‌زایی مس بیشتر در متاولکانیک‌ها و به صورت چینه سان و چینه کران رخ داده است (حسینی شهرکی، ۱۴۰۰).

درون واحدهای دگرگونی فیلیتی پیریت به صورت پراکنده قابل مشاهده است. هاله‌هایی از دگرسانی سریسیتی نیز رگه‌های کانه‌زایی را در برمی‌گیرد.

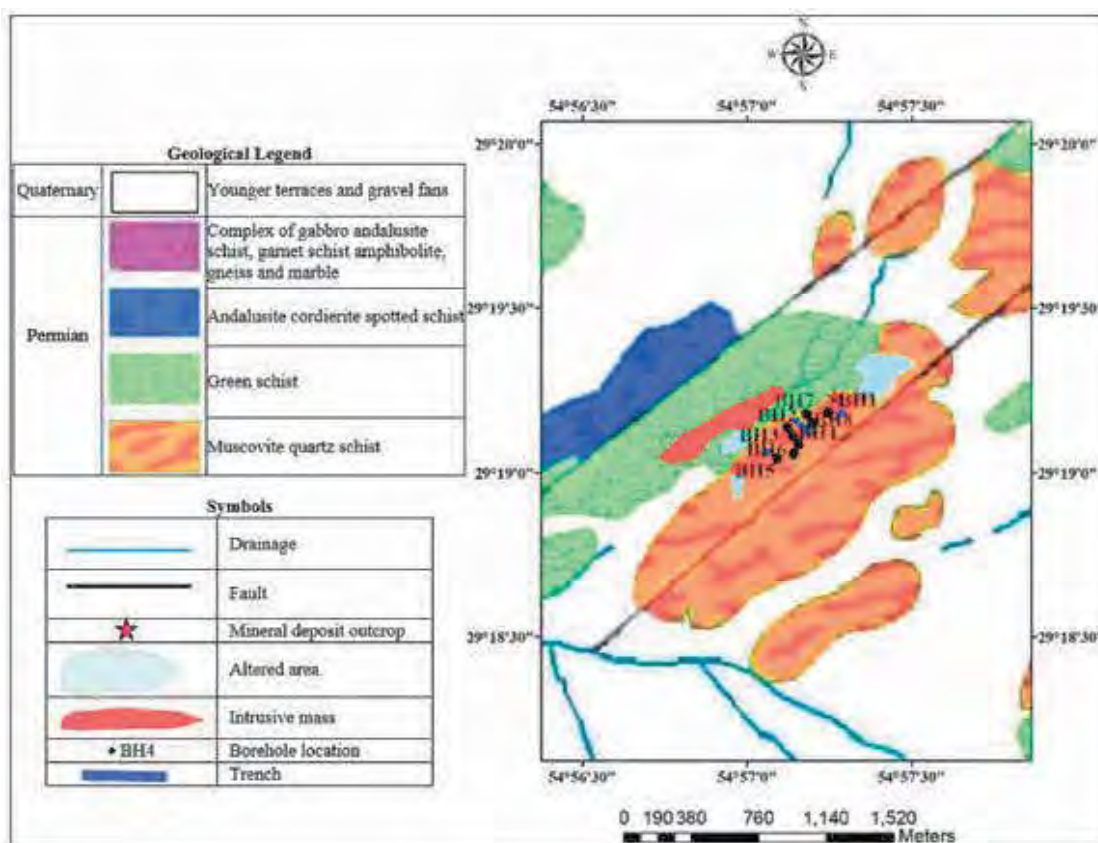
بیشترین تمرکز رگه‌های معدنی در قسمت جنوب غربی ناحیه اکتشافی بشنه دیده می‌شود. بزرگترین رخنمون آنها دارای عرض حدود یک تا دو متر و طولی حدود ۳۰ متر است. به نظر می‌رسد رگه‌های معدنی در ناحیه اکتشافی دارای امتداد شمال شرق-جنوب‌غرب هستند. کانه‌زایی مس در رگه‌های معدنی قابل مشاهده، بیشتر از نوع مالاکیت و به مقدار کمتر آزوریت است، ولی آثاری از کالکوپیریت و بورنیت نیز همراه آنها مشاهده می‌شود. سنگ میزبان رگه‌های معدنی واحدهای آرکوز (شیست کوارتزی، کلریت شیست، ماسه‌سنگ و سیلتیتون) می‌باشد. آثار شاخه درختی و دندربیتی از اکسیدهای آهن و منگنز نیز در سنگ میزبان دیده می‌شود. هاله دگرسانی در اطراف بعضی از رگه‌های معدنی قابل مشاهده است. با توجه به حضور کالکوپیریت، بورنیت و پیریت در بعضی از نمونه‌ها که با چشم هم قابل مشاهده است، برداشت می‌شود که کانه‌زایی ابتدا به صورت اولیه رخداده و شاید در عمق، حجم کانی زایی اولیه که به صورت سولفیدی است، افزایش یابد. کانی‌های سولفیدی قابل تشخیص اولیه بیشتر کالکوپیریت و به مقدار جزئی پیریت است و به احتمال زیاد کانی‌های متعدد دیگر نیز باید تشکیل شده باشند اما در بخش‌های سطحی بر اثر اکسیداسیون از بین رفتند. در شکل ۳ تصاویر مقاطع صیقلی یک نمونه سنگی از پهنه، در زیر میکروسکوپ پلاریزان نور بازنایی نشان داده شده است. براساس مطالعات کانه‌نگاری در این مقطع صیقلی کانی‌های پیریت، اسفالریت، گالن و کالکوپیریت مشاهده می‌شوند.

به کارگیری این روش‌ها و تلفیق نتایج آنها با یکدیگر به عنوان یک راهنمای کلید اکتشافی برای شناخت بیشتر این کانسار در راستای سطحی و عمقی، فعالیت‌های اکتشافی جدیدی پیشنهاد شده است.

ناحیه مورد مطالعه: موقعیت جغرافیایی و زمین‌شناسی

کانسار مس بشنه در جنوب شرق ایران در استان کرمان، در فاصله ۸۰ کیلومتری غرب شهر سیرجان و پنج کیلومتری شمال شرق روستای بشنه قرار دارد. این ناحیه بخشی از نقشه توپوگرافی ۱:۲۵۰۰۰ سیرجان است. برای دسترسی به ناحیه مورد نظر باید از طریق جاده سیرجان- خیرآباد مسافت ۴۰ کیلومتری به سمت غرب شهر سیرجان را طی کرد. سپس حدود ۴۲ کیلومتر جاده خاکی به سمت غرب حرکت کرد. مهم‌ترین واحدهای سنگی تشکیل‌دهنده این ناحیه، آرکوز، شیسته‌های کوارتزی، کلریت شیست، مرمر و اسلیت هستند. قدیمی‌ترین آثار ماقماتیسم در شمال ناحیه و متعلق به گذازه‌های مافیک و اولترامافیک داخل واحدهای پرکامبرین-کامبرین و سیلورین-دونین است. علاوه بر واحدهای سنگی یادشده، سنگ‌های گرانیت، ریولیت و گرانیت-گنایس در سطح ناحیه رخنمون داشته و با فاصله کمی از ناحیه موردنظر، دایک‌های دیابازی و گابرو نیز قابل مشاهده است. توده نفوذی موجود در ناحیه مورد مطالعه با طول حدود ۶۰۰ متر و عرض تقریبی دو تا سه متر از جنس گابرو دیوریتی است. دگرسانی در سطح ناحیه مورد مطالعه، بیشتر از نوع آرژیلیک می‌باشد و در بخش‌های جنوبی و غربی ناحیه مورد مطالعه (با وسعتی حدود ۵۰۰ مترمربع) رخنمون دارد (حسینی شهرکی، ۱۴۰۰). شکل ۱ نقشه زمین‌شناسی پنهانه مورد مطالعه را نشان می‌دهد.

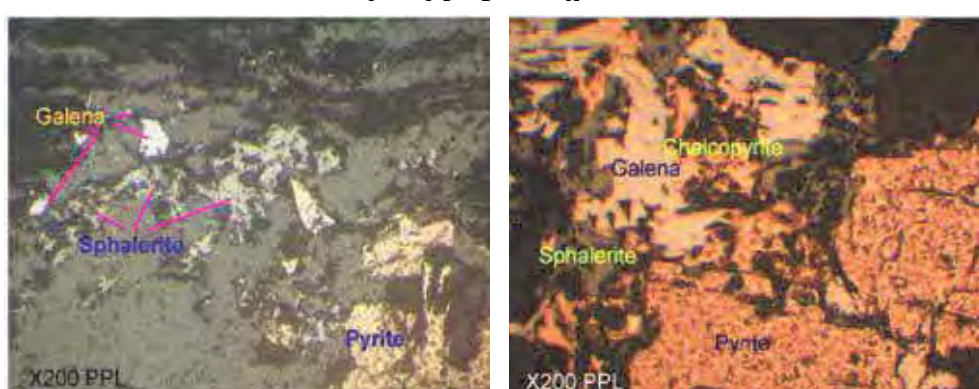
توده‌های نفوذی بیان‌شده از نظر شرایط دمایی مناسب و عملکرد، به عنوان موتور حرارتی برای کانه‌زایی دارای اهمیت است و در رخداد کانه‌زایی عامل مثبت به شمار می‌آیند. برداشت‌های زمین‌شناسی، وجود آثار کانه‌زایی سطحی مس (مالاکیت، آزوریت و کریزوکولا) همگی در روند شیستوزیت‌های اثبات‌کرده‌است. نکته قابل توجه در مشاهدات صحرایی، حضور



شکل ۱. نقشه زمین‌شناسی پهنه مورد مطالعه



شکل ۲. کانی زایی مس در پهنه مورد مطالعه. (الف) به صورت اکسیدی (مالاکیت) همروند با شیستوتزیت، ب) در امتداد گسل همراه با هیدروکسیدهای آهن و منگنز



شکل ۳. تصویر کانی‌های کالکوپیریت، اسفالریت، گالن و پیریت در مقاطع صیقلی پهنه مورد مطالعه

شرقی- غربی که گسل‌های با روند شمال‌شرقی- جنوب‌غربی توسط گسل‌های با روند شمال‌غربی- جنوب‌شرقی قطع شده‌اند. با توجه به این شکل مشاهده می‌شود که بزرگ‌ترین (طولانی‌ترین) گسل‌های موجود در پهنه در راستای امتدادی N50E تا N40E (آزیموت ۴۰ تا ۵۰ درجه) قرار دارند و مجموع طول گسل‌های موجود در این بازه ۱۰ درجه‌ای، حدود ۲۰۰۳ متر است.

تحلیل فعالیت‌های اکتشافی انجام شده
در کانسار مس بشنese فعالیت‌های اکتشافی متنوعی انجام شده و مهم‌ترین آنها به صورت زیر است:

شناسایی و پی‌جوبی

عملیات پی‌جوبی در ناحیه مورد مطالعه شامل مطالعات دورسنجی، پیمایش‌های صحرایی، بررسی و نمونه‌برداری از واحدهای سنگی و کانه‌زایی موجود در آنها است. در گام نخست با احتمال وجود ارتباط بین شکستگی‌ها و پتانسیل‌های معدنی در پهنه، عملیات دورسنجی برای شناسایی شکستگی‌های اصلی نزدیک سطح زمین (به عنوان یک نوع خطواره) انجام شد. این کار پس از انجام پیش‌پردازش‌های رادیومتری، تصحیحات هندسی و اعمال تعدادی از فیلترهای جهت‌دار بر روی تصاویر ETM ماهواره‌لندست ۷ به کمک نرم‌افزارهای ERMapper و PCI Geomatica صورت گرفت. تهیه نقشه گسل‌های پهنه (شکل ۴-الف) به کمک نقشه‌های ساختاری موجود، یکی از خروجی‌های مرحله عملیات دورسنجی است. تهیه نقشه‌های توپوگرافی و زمین‌شناسی گام بعدی عملیات بود.

اکتشافات ژئوفیزیکی

مطالعات ژئوفیزیکی در این ناحیه ابتدا توسط آرایه مستطیلی با طول خط جريان AB= 800m با روش‌های قطبش القابی و مقاومت ويزه الکتریکی انجام شد. سپس با هدف شناسایی وضعیت بی‌هنجاری‌ها در عمق و براساس نتایج حاصل، در مرحله بعد تعداد پنج پروفیل ژئوفیزیکی به نامهای DD1 تا DD5 با آرایه دوقطبی- دوقطبی به روش‌های قطبش القابی و مقاومت ويزه الکتریکی در جهت تقریبی عمود بر روند کانه‌زایی برداشت شده است

کانه‌زایی در رگه‌ها و شکستگی‌ها بر اثر حرکت محلول‌های کانه‌دار تشکیل می‌شوند و با توجه به اینکه کانه‌زایی اولیه از نوع سولفیدی است، باید محلول‌های گرم در تشکیل آنها دخالت داشته باشد (Evans, 2000). با در نظر گرفتن پهنه زمین‌ساختی و فلززایی در برگیرنده ناحیه بشنese، تیپ کانه‌زایی احتمالی این پهنه از نوع ماسیوسولفید است (حسینی شهرکی، ۱۴۰۰). البته برای تعیین مدل دقیق کانه‌زایی ناحیه، مقایسه پارامترهای مرتبط با کانه‌زایی به ویژه مشخصات ژئوشیمیایی کانه‌زایی با کانسارهای ماسیوسولفید، ضروری است.

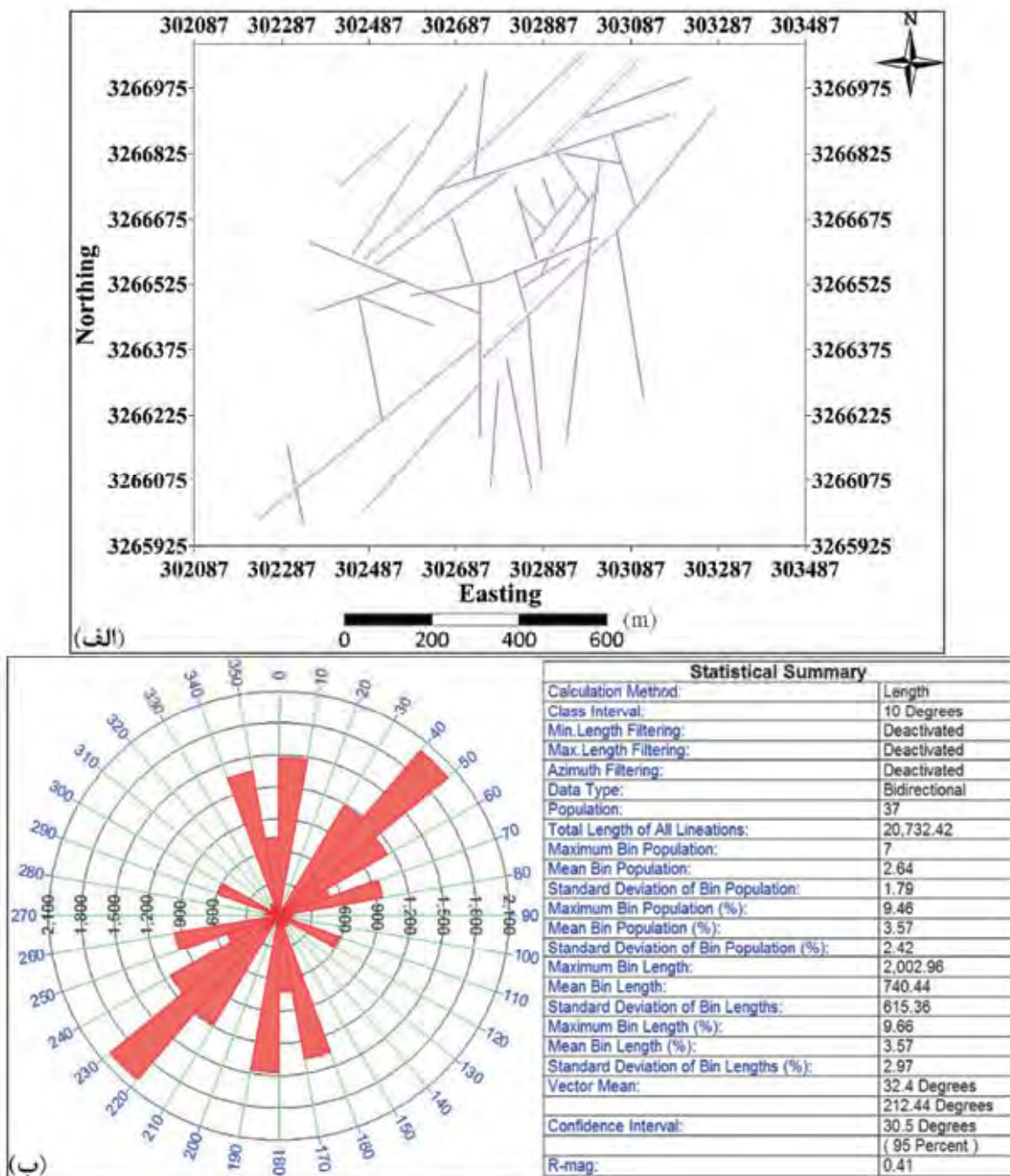
روش مطالعه

در این پژوهش تمامی فعالیت‌های اکتشافی انجام شده در کانسار مس بشنese با دقت، بررسی و تجزیه و تحلیل شد. سپس ارتباط آنها با گسل‌های موجود در پهنه به عنوان یک کلید اکتشافی جدید ارزیابی شد.

بررسی وضعیت گسل‌های پهنه

از آنجایی که ناحیه بشنese بخشی از پهنه زمین‌ساختی سندج- سیرجان است و از شرایط عمومی این پهنه تعیت می‌کند، در نتیجه از دیدگاه زمین‌شناسی ساختمانی فعال است. مطالعات مربوط به شناسایی و تعیین شکستگی‌ها و گسل‌های پهنه مورد مطالعه از طریق بازدیدها و برداشت‌های صحرایی، بررسی نقشه‌های زمین‌شناسی ساختاری و مطالعات دورسنجی پهنه (حسینی شهرکی، ۱۴۰۰) صورت گرفت. در شکل ۴-الف نقشه موقعیت پراکندگی گسل‌های برداشت شده در پهنه و در شکل ۴-ب نمودار گل سرخی رسم شده براساس طول این گسل‌ها همراه با پارامترهای آماری مربوطه نشان داده شده است.

در این پهنه چندین گسل اصلی وجود دارد که با هم تلاقی داشته و گسل‌های دیگر از این گسل‌ها تعیت می‌کنند. زمان فعالیت این دو دسته گسل متقطع بعد از اثوسن است (حسینی شهرکی، ۱۴۰۰) و با توجه به قطع شدگی واحدهای سنگی می‌تواند تا زمان حال نیز ادامه داشته باشد. مطابق شکل ۴ روند این گسل‌ها به ترتیب اولویت عبارت اند از شمال‌غربی - جنوب‌شرقی، شمال‌شرقی - جنوب‌غربی و

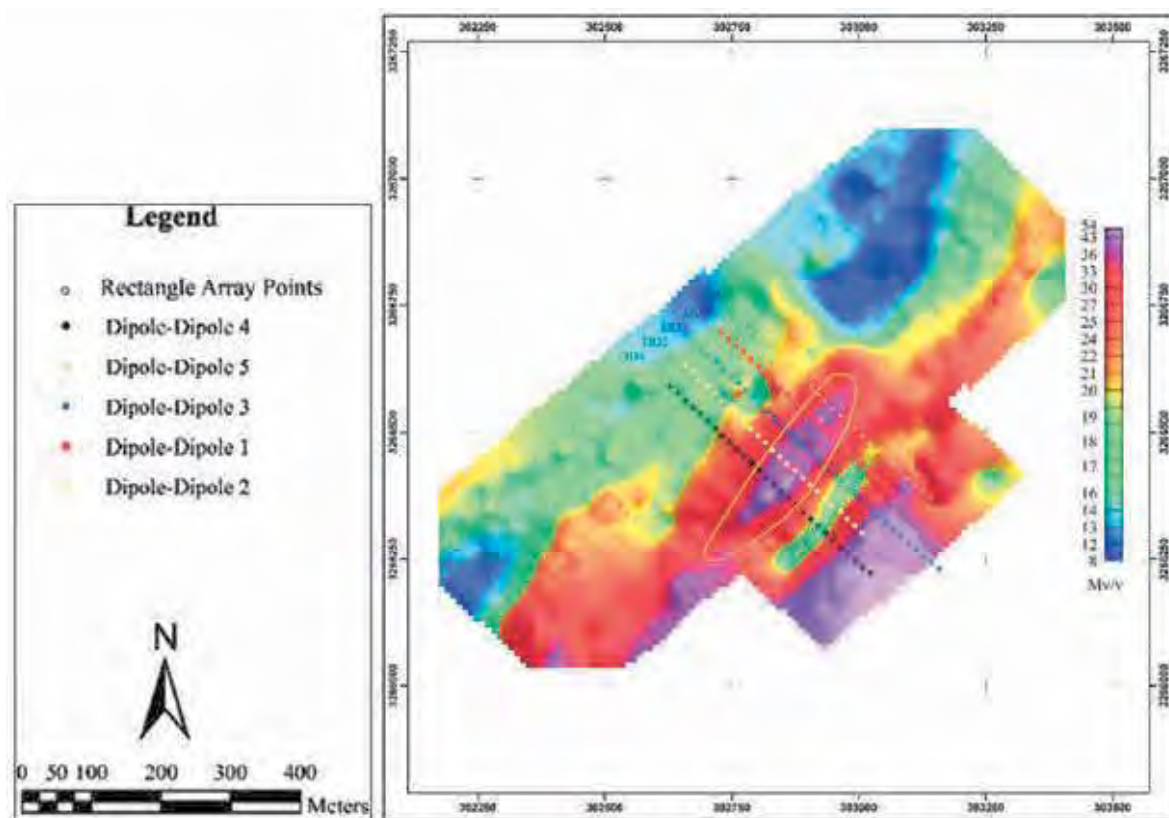


شکل ۴. (الف) نقشه موقعیت پراکندگی گسل‌های برداشت شده در کانسار مس بشن، (ب) نمودار گل سرخی گسل‌ها به همراه پارامترهای آماری مربوطه

شمال شرقی-جنوب غربی با رنگ زرد مشخص شده است. به نظر می‌رسد که این بی‌هنجری در ارتباط با حضور کانی‌های فلزی سولفوره هادی در داخل رگه و رگچه‌ها و شکستگی‌های موجود در ناحیه باشد. پروفیل‌های دوقطبی در این شکل یک بخش بی‌هنجری بارپذیری شاخص از یکدیگر و به موازات هم برداشت شده‌اند. این پروفیل‌ها با

(نجاری، ۱۳۹۹). شکل ۵ نقشه تغییرات بارپذیری ظاهری برداشت مستطیلی بر حسب میلی ولت بر ولت و نیز موقعیت پروفیل‌های برداشت دوقطبی-دوقطبی را در پهنه نشان می‌دهد.

در این شکل یک بخش بی‌هنجری بارپذیری شاخص با مقدار بیش از ۳۶ mV/V در بخش میانی نقشه با روند

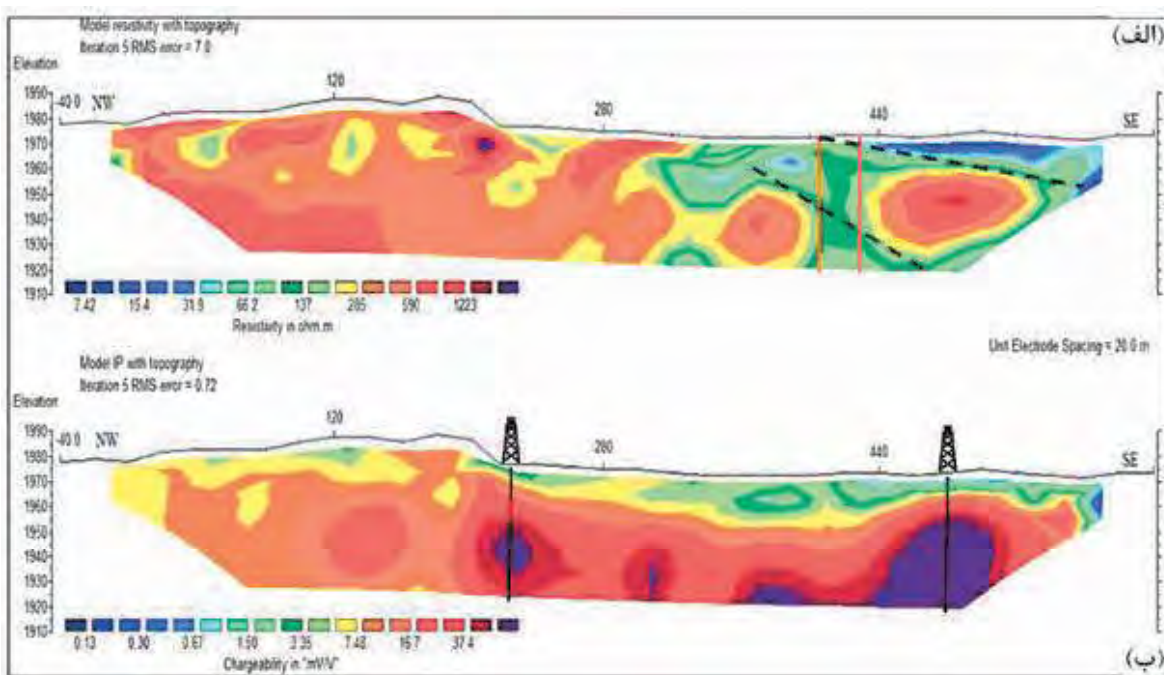


شکل ۵. نقشه هم باریزیری ظاهری برداشت مستطیلی و موقعیت پروفیل‌های برداشت دوقطبی-دوقطبی در پهنه

وجود دارد. بنابراین می‌توان وجود دو گسل‌ستگی یا گسل احتمالی (مشخص شده با علامت خطچین سیاهرنگ بر روی شکل) را در این بخش پیش‌بینی کرد. حتی در فضای بین این دو بخش بجای یک گسل احتمالی، وجود کنتاکت قائم یا یک دایک قائم (بخش واقع بین دو خطپر قرمزنگ) نیز احتمال دارد. بخش بزرگ مقطع باریزیری بهویژه نواحی عمقی، دارای مقدار باریزیری زیاد است و تمامی این بخش‌ها می‌توانند دلالت بر حضور ماده معدنی داشته باشند. حضور ماده معدنی احتمالاً سولفیدی در نیمه سمت راست این مقطع، می‌تواند در ارتباط با وجود گسل‌ستگی‌ها یا گسل‌های احتمالی موجود در این بخش باشد. ازانجایی که در نیمه سمت چپ مقطع مقاومت ویژه، مقدار مقاومت ویژه به نسبت بالا است، بالا بودن مقاومت ویژه این بخش می‌تواند ناشی از مقاومت الکتریکی زیاد سنگ میزبان کانه‌زایی باشد. در موقعیت‌های با بی‌هنجری‌های برجسته‌تر مقطع باریزیری، حفر دو گمانه اکتشافی قائم با عمق حداقل ۵۵ متر مطابق شکل ۶-ب پیشنهاد می‌شود.

فوائل الکترودی جریان و پتانسیل برابر با ۲۰ مترو مقدار پرش ۱۰ متر تا بیشینه ۱۰ پرش ($n=10$) برای الکترودهای پتانسیل (MN)، از شمال غرب به جنوب شرق برداشت شده‌اند.

در این پژوهش برای تمام پروفیل‌های ژئوفیزیکی برداشت شده، مدل‌سازی وارون هموار به روش کمترین مربعات خطا با استفاده از نرم‌افزار RES2DINV (Loke and Lane, 2000; Loke, 2002; Loke, 1996; Loke, 1999) صورت گرفت و مقاطع هریک به طور جداگانه تفسیر شد. به عنوان نمونه برای پروفیل مرکزی DD3 با طول ۶۴۰ متر که تعداد ۲۵۵ نقطه، اندازه‌گیری شده است، مقاطع باریزیری و مقاومت ویژه مدل‌سازی شده در شکل ۶ نشان داده شده است. مطابق این شکل بخش بزرگ نیمه سمت راست مقاومت ویژه دارای مقادیر پایینی است، در حالی که ناحیه متناظر با این بخش در مقطع باریزیری به جز نواحی سطحی، باریزیری بالایی را نشان می‌دهد. البته درون این بخش دو ناحیه مجزای با مقاومت ویژه بالا نیز



شکل ۶. (الف) مقطع مقاومت ویژه، (ب) مقطع باریزدیری پروفیل DD3 بعد از مدل‌سازی وارون هموار داده‌ها

نمونه‌برداری شد. بازه‌های نمونه‌برداری براساس تغییرات در لیتوولوژی، دگرسانی و کانه‌زایی‌های مشهود و با احتمال وجود کانه‌زایی تعریف شده است. نمونه‌های برداشت شده با روش‌های ICP-OES و Fire Assay برای عناصر مختلف و بهویژه مس مورد آنالیز شیمیایی قرار گرفت.

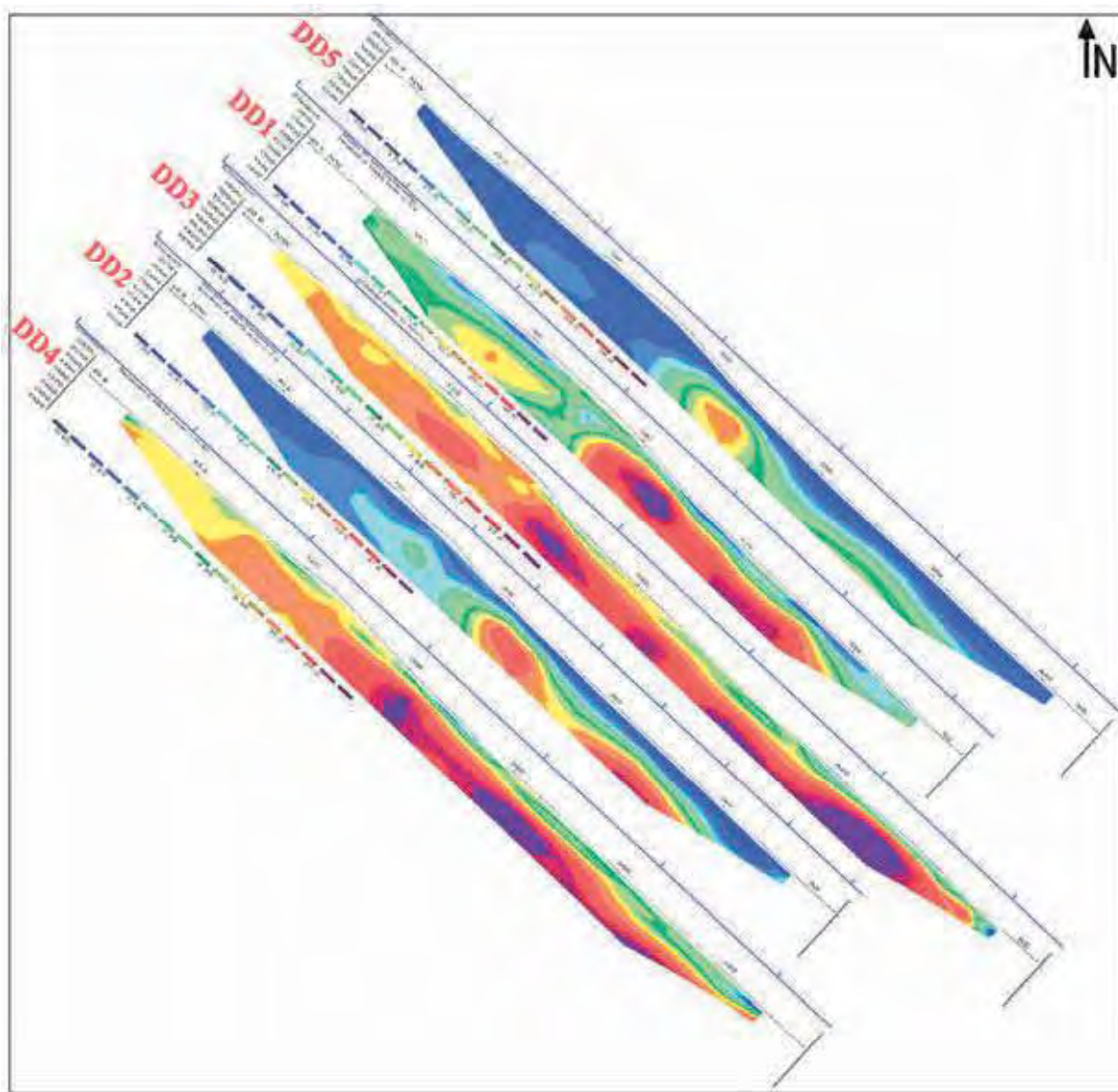
شکل ۸ نقشه برداشت دیواره غربی ترانشه اول (TR1) با طول ۵۴ متر از جنوب به شمال را نشان می‌دهد. لیتوولوژی سطحی این ترانشه، همگی شیست با روند شیستوزیته ۲۰ تا ۷۰ درجه می‌باشد. شیب در نقاط مختلف به دلیل فعالیت‌های تکتونیکی متغیر است. در سه بخش از سطح این ترانشه تراوش‌هایی از کانه‌زایی اکسیدی مس مشاهده شد و از ۱۱ متری، ۲۰ متری و ۵۰ متری طول ترانشه، سه نمونه معرف برای تجزیه شیمیایی برداشت شد و کانه‌زایی هم‌رونده با شیستوزیته و محدود به مناطق گسلی می‌باشد. راستای برداشت ترانشه دوم (TR2) با طول تقریبی ۲۵ متر از شمال به جنوب است و مطابق شکل ۹ لیتوولوژی سطحی این ترانشه، همانند ترانشه اول بیشتر شیست است. از هشت متری، ۱۱ متری و ۱۴ متری طول ترانشه، سه نمونه معرف برای تجزیه شیمیایی برداشت شد. در این ترانشه،

در شکل ۷ مقطاع باریزدیری مدل‌سازی وارون شده نظری پروفیل‌های ژئوفیزیکی DD1، DD2، DD3، DD4 و DD5 به ترتیب از بالا به پایین در مجاورت یکدیگر نشان داده شده است. نتایج مطالعات ژئوفیزیکی از طریق مقایسه این مقطاع با نقشه باریزدیری برداشت مستطیلی (شکل ۵) نشان می‌دهد، به طور کلی انطباق مناسبی بین نواحی امیدبخش براساس برداشت مستطیلی با پروفیل‌های برداشت دقیق‌تر دو قطبی وجود دارد.

اکتشافات ژئوشیمیایی سطحی

براساس یک شبکه‌بندی منظم در سطح ناحیه، تعداد ۹۴ نقطه نمونه‌برداری سطحی از رگه‌های سیلیسی با خاصیت‌ها و طول‌های مختلف، استوک ورک‌ها، دگرسانی‌ها و اکسیدهای آهن برداشت شد. سپس نمونه‌های برداشت شده به روش ICP-OES برای ۳۴ عنصر مورد تجزیه شیمیایی ppm قرار گرفت. بیشترین میزان عیار مس این نمونه‌ها ۱۱۴۷ است. همچنین به منظور بررسی گسترش کانه‌زایی در بخش‌های سطحی، تعداد سه رشته ترانشه با نام‌های TR1 تا TR3 تا حد امکان عمود بر روندهای کانه‌زایی، طراحی و حفر شد و از رخمنونهای کانه‌دار با روش تراشه پیوسته

1. Continuous chip



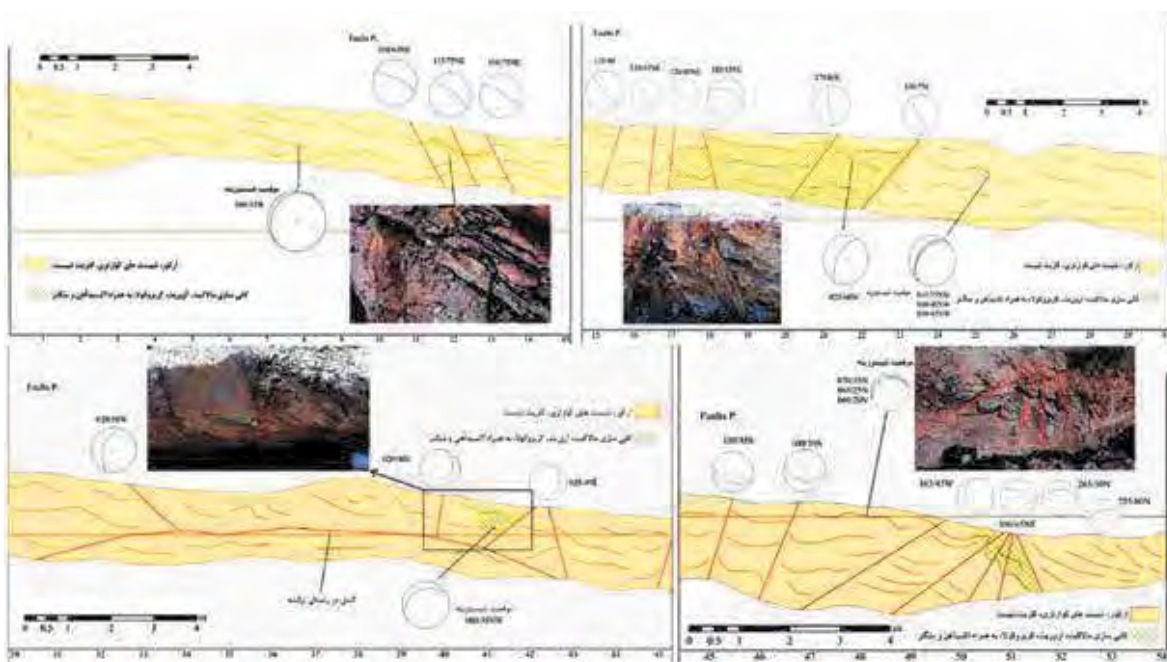
شکل ۷. مقطع بارپذیری پروفیل‌های ژئوفیزیکی DD5، DD1، DD3، DD2 و DD4 در مجاورت یکدیگر به ترتیب از بالا به پایین

از برداشت مستطیلی قرار دارد. اما در حال حاضر در این منطقه تعداد هشت حلقه گمانه اکتشافی مایل همگی با شیب ۷۰ درجه و آزیموت ۱۳۵ درجه با مجموع طول کلی ۴۱۴/۵ متر حفاری شده است و بانام‌های BH1 تا BH8 شناخته می‌شوند. البته موقعیت بعضی از این گمانه‌ها با موقعیت‌های پیشنهادی عملیات ژئوفیزیکی همخوانی ندارد. چاه نگار (لاگ) زمین‌شناسی و اکتشافی تمام گمانه‌های اکتشافی بیان شده، جمع آوری شده که به عنوان نمونه نتایج آنها برای گمانه‌های BH1 و BH3 در جدول ۱ آورده شده است.

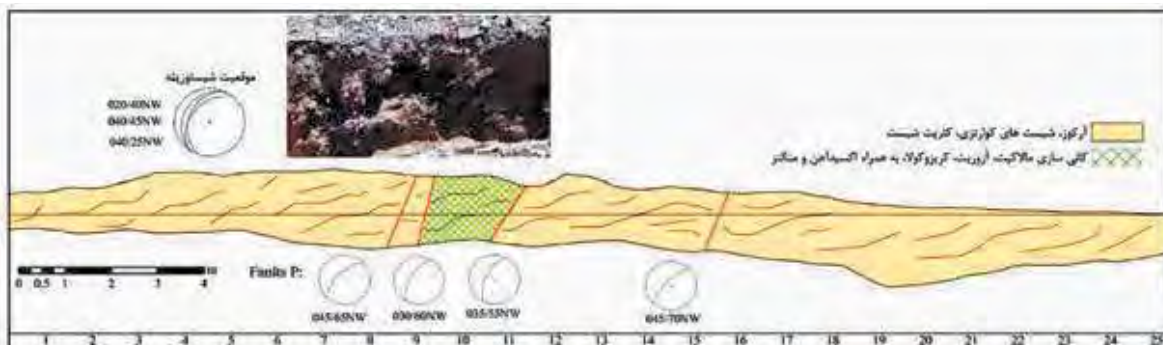
کانه‌زایی در راستای شیستوزیته و محدود بین دو گسل کم و بیش همرون و همشیب به ضخامت یک و نیم متر رخمنون دارد. در ترانشه سوم به دلیل عمق کم و نداشتن کیفیت حفاری، برداشت زمین‌شناسی انجام نشد. بیشترین میزان عیار مس در ترانشه اول حدود ۱/۲ درصد و در ترانشه دوم حدود ۱/۴ درصد ثبت شده است.

اکتشافات ژئوشیمیایی زیرسطحی

براساس نتایج یافته‌های ژئوفیزیکی، در نهایت حفر تعداد شش حلقه گمانه اکتشافی در پهنه، پیشنهاد شده است که موقعیت آنها اغلب بر روی بخش بی‌هنجری حاصل



شکل ۸. نقشه برداشت دیواره غربی تراشه اول (TR1) (قطع طولی از جنوب به شمال)



شکل ۹. نقشه برداشت دیواره شمال شرقی تراشه دوم (TR2) (قطع طولی از شمال به جنوب)

بحث

نیز نشان می‌دهد، واحدهای سنگی، تحت تاثیر گسل هستند و در برخی مناطق این گسل‌ها و مناطق برشی دارای کانه‌زایی می‌باشند که مقدار مقاومت ویژه نیز تحت تاثیر قرار دارد. کاهش مقاومت ویژه در بخش‌های سطحی نیز متاثر از وجود آبرفت‌ها، مناطق اکسیده و دگرسان شده سطحی هستند.

شکل ۱۰ نقشه موقعیت پروفیل‌های ژئوفیزیکی برداشت شده و موقعیت گمانه‌های اکتشافی پیشنهادی بر روی پروفیل‌ها (شش گمانه نامگذاری شده با GBH1 تا GBH6) را همراه با موقعیت گسل‌های موجود در پهنه مطالعه نشان می‌دهد. با توجه به این شکل مشاهده

در ادامه، نتایج هر یک از فعالیت‌های اکتشافی انجام شده با جزئیات بیشتر بررسی می‌شود و ارتباط آنها با گسل‌های موجود در پهنه، مورد مطالعه قرار می‌گیرد.

ارتباط یافته‌های ژئوفیزیکی با گسل‌ها

در پروفیل‌های ژئوفیزیکی برداشت شده، بی‌هنجاری‌های با باریزیری بالا (که به احتمال زیاد دارای پیریت هستند) دارای روند و امتداد مشخص شمال شرقی-جنوب غربی می‌باشند (شکل ۷). همچنین بخش‌های بی‌هنجاری‌های با باریزیری بالا دارای مقدار مقاومت ویژه متوسط هستند و در نتیجه این بی‌هنجاری‌ها در ارتباط با مناطق خردشده و گسله پهنه می‌باشند. بررسی مقاطع مقاومت ویژه الکتریکی

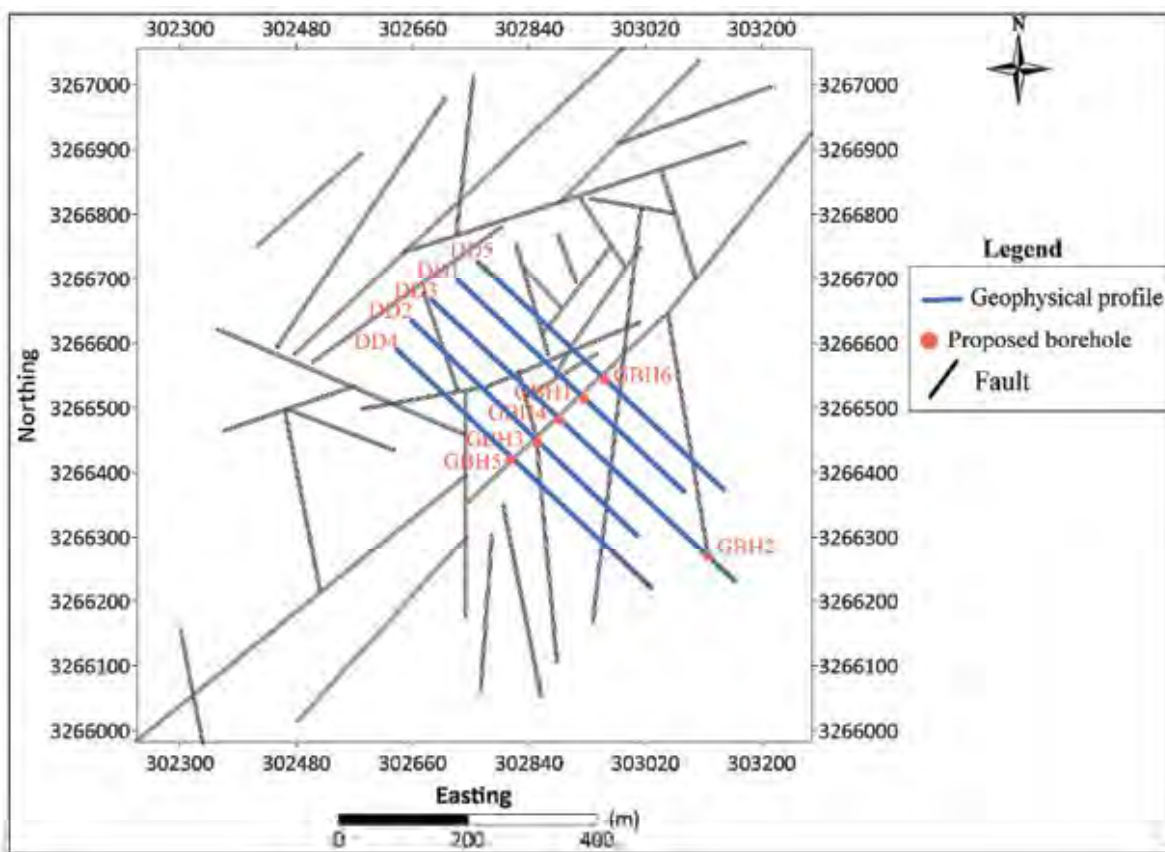
جدول ۱. چاه نگار زمین‌شناسی و اکتشافی گمانه‌های BH1 و BH3

BH3 گمانه				BH1 گمانه			
سنجشناختی (ppm)	تا عیار مس	از		سنجشناختی (ppm)	تا عیار مس	از	
۳۰۹	شیل	۵	۰	۶۹۳	شیل	۱	۰
۶۳	شیل	۱۰	۵	۱۶۹	شیل	۵	۱
۶۸	شیل	۱۵	۱۰	۱۳۵۲	شیل	۶	۵
۵۲	شیل	۲۰	۱۵	۸۲۶	شیل	۷	۶
۲۷	شیل	۲۵	۲۰	۱۴۱۱	شیل	۹	۷
۲۰	شیل	۲۷	۲۵	۷۶	سنگ‌آهک	۱۰	۹
۳۵	شیل	۲۸	۲۷	۱۶۱	سنگ‌آهک	۱۵	۱۰
۱۷	سنگ‌آهک	۳۰	۲۸	۲۷۴	سنگ‌آهک	۲۰	۱۵
۴	سنگ‌آهک	۳۵	۳۰	۲۳۸	سنگ‌آهک	۲۵	۲۰
۲۴	سنگ‌آهک	۴۰	۳۵	۱۵۵۶۱	شیل	۲۵/۹	۲۵
۵	سنگ‌آهک	۴۱	۴۰	۱۲۸۲۵	شیل	۲۶/۹	۲۵/۹
۶	سنگ‌آهک	۴۲	۴۱	۱۳۲	سنگ‌آهک	۲۷/۹	۲۶/۹
۷	سنگ‌آهک	۴۵	۴۲	۴۷	سنگ‌آهک	۲۸/۹	۲۷/۹
۱۴	سیلیس	۵۰	۴۵	۴۰	سنگ‌آهک	۲۹/۹	۲۸/۹
۱۳۸۷	سیلیس	۵۱	۵۰				
۱۰۸	سیلیس	۵۲	۵۱				
۵۱	سیلیس	۵۳	۵۲				
۵۵	سنگ‌آهک	۵۴	۵۳				
۸۱	سنگ‌آهک	۵۵	۵۴				
۷۰	سنگ‌آهک	۵۷	۵۵				
۶۹	سنگ‌آهک	۶۰	۵۷				
۴۳۶	سنگ‌آهک	۶۱	۶۰				
۹۲	سنگ‌آهک	۶۲	۶۱				
۲۴۶	گرانیت و گنایس	۶۳	۶۲				
۱۵۷	گرانیت و گنایس	۶۴	۶۳				
۱۸۵	گرانیت و گنایس	۶۵	۶۴				
۸۴	گرانیت و گنایس	۶۶	۶۵				
۴۹	گرانیت و گنایس	۶۷	۶۶				
۵۲	گرانیت و گنایس	۶۸	۶۷				
۲۱	گرانیت و گنایس	۶۹	۶۸				
۵۴	گرانیت و گنایس	۷۰	۶۹				
۷۴۲	گرانیت و گنایس	۷۱	۷۰				
۱۲۹	گرانیت و گنایس	۷۵	۷۱				

ارتباط یافته‌های لیتوژئوشیمیایی سطحی و زیرسطحی با گسل‌ها

شکل ۱۱ نقشه موقعیت پراکندگی کلیه کارهای اکتشافی انجام شده شامل نمونه‌برداری‌های نقطه‌ای سطحی، ترانشه‌ها و گمانه‌های اکتشافی و نیز گسل‌های برداشت شده در پهنه مورد مطالعه را نشان می‌دهد. با توجه به نقشه برداشت ترانشه‌های TR1 و TR2 شکل‌های ۸ و ۹ و نیز

می‌شود، موقعیت گمانه‌های پیشنهادی بیشتر در بخش میانی نقشه و همگی بر روی گسل قرار دارند. از آنجایی که موقعیت گمانه‌های اکتشافی براساس بی‌هنجری‌های برجسته مقاطعه باریزیری تعیین شده و این بی‌هنجری‌ها در ارتباط با کانه‌زایی احتمالی در پهنه می‌باشند، بنابراین چنین نتیجه‌گیری می‌شود که محل‌های کانه‌زایی احتمالی در پهنه مورد مطالعه، در ارتباط مستقیم با موقعیت گسل‌های موجود در پهنه هستند.



شکل ۱۰. نقشه موقعیت پراکندگی پروفیل‌های ژئوفیزیکی برداشت شده، گمانه‌های اکتشافی پیشنهادی بر روی پروفیل‌ها و گسل‌های موجود در پهنه مورد مطالعه

دو بخش پر عیار مجزا در بخش میانی پهنه، به طور خیلی واضح قابل مشاهده هستند. این بخش‌ها متناظر با بخش مرکز و تقاطع گسل‌های موجود در پهنه (شکل ۱۳-الف) می‌باشند.

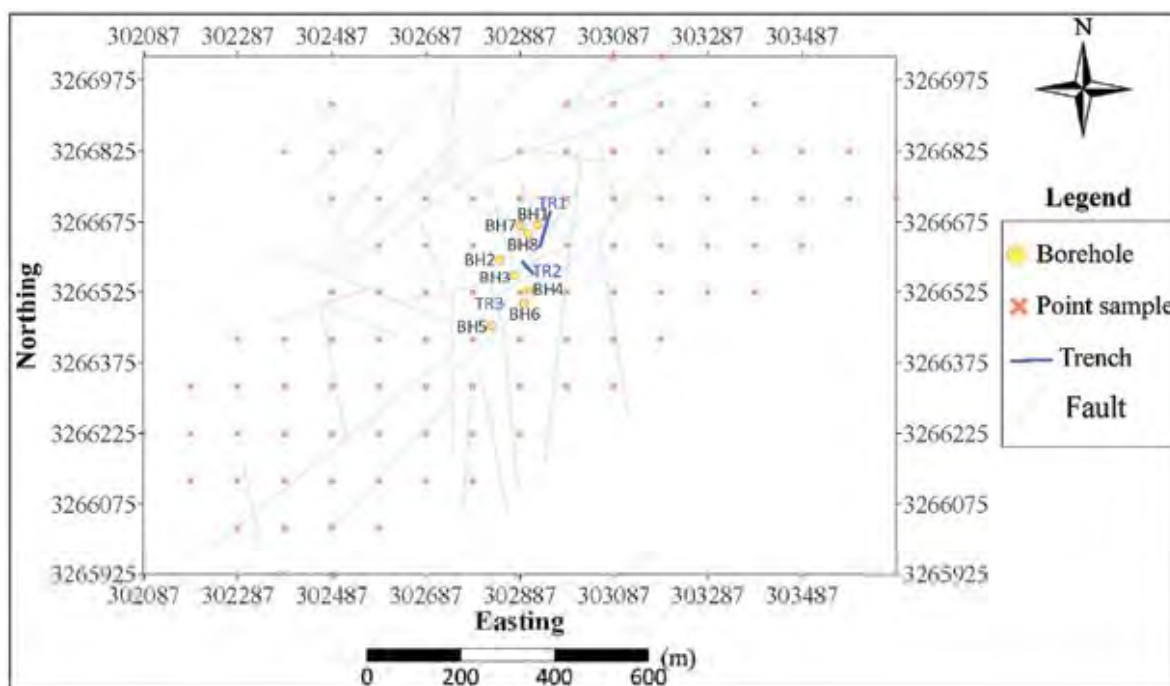
در شکل ۱۴ نمای سه بعدی چاهنگار عیارسنجی تمام گمانه‌های اکتشافی و مدل سه بعدی عیارسنجی پهنه مورد مطالعه با استفاده از نرم‌افزار Rockworks16 رسم شده است. راهنمای رنگی عیاری در این شکل تغییرات میزان عیار مس گمانه‌ها را بر حسب گرم بر تن (ppm) نشان می‌دهد. در شکل ۱۴-الف میزان شعاع استوانه‌ها نشان دهنده بزرگی مقدار عیار در طول مغزه مربوطه در گمانه است. مدل سه بعدی عیارسنجی (شکل ۱۴-ب)

نیز با استفاده از الگوریتم عکس مجذور فاصله وزن دار پیشرفت‌نا ساخته شده است. در این الگوریتم امکان وزن دهی فاصله با توان متفاوت در جهات مختلف وجود دارد.

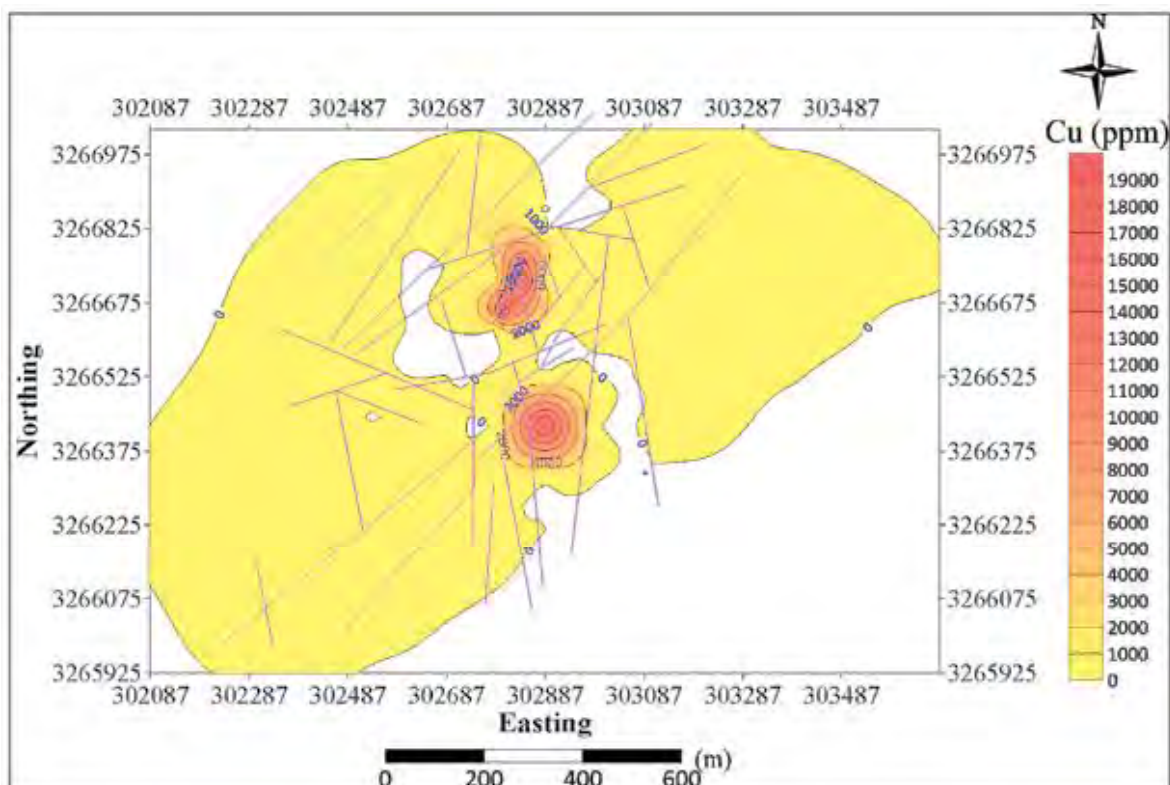
1. Advanced inverse distance weighted (IDW)

شکل ۱۱ مشاهده می‌شود که بیشتر بخش‌های کانه‌زایی شده این ترانشهای در ارتباط با شکستگی‌ها و گسل‌های موجود در پهنه هستند. شکل ۱۲ نیز نقشه هم‌عیار کانسار مس بشنی را بر اساس عیار نمونه‌های نقطه‌ای و ترانشهای برداشت شده در پهنه مورد مطالعه نشان می‌دهد. در این شکل گسل‌های موجود در پهنه هم نشان داده شده‌اند. مطابق این شکل عیار مس کانسار در دو بخش مجزا در بخش میانی ناحیه مورد مطالعه بالا است. بخش‌های پر عیار در محل مرکز و تقاطع گسل‌ها واقع هستند و ترانشهای اکتشافی نیز بیشتر در این بخش‌ها قرار دارند. بنابراین ساختارهای پهنه و گسل‌ها کنترل کننده اصلی کانه‌زایی در پهنه هستند.

به منظور نمایش و تجسم بهتر در شکل ۱۳ نقشه دو بعدی موقعیت پراکندگی گسل‌های موجود در پهنه مورد مطالعه بر روی نقشه سه بعدی عیارسنجی مس کانسار حاصل از نمونه‌های سطحی و ترانشهای برداشت شده با استفاده از نرم‌افزار Surfer نشان داده شده است. در شکل ۱۳-ب



شکل ۱۱. نقشه موقعیت پراکندگی کارهای اکتشافی و گسل‌های موجود در پهنه مورد مطالعه

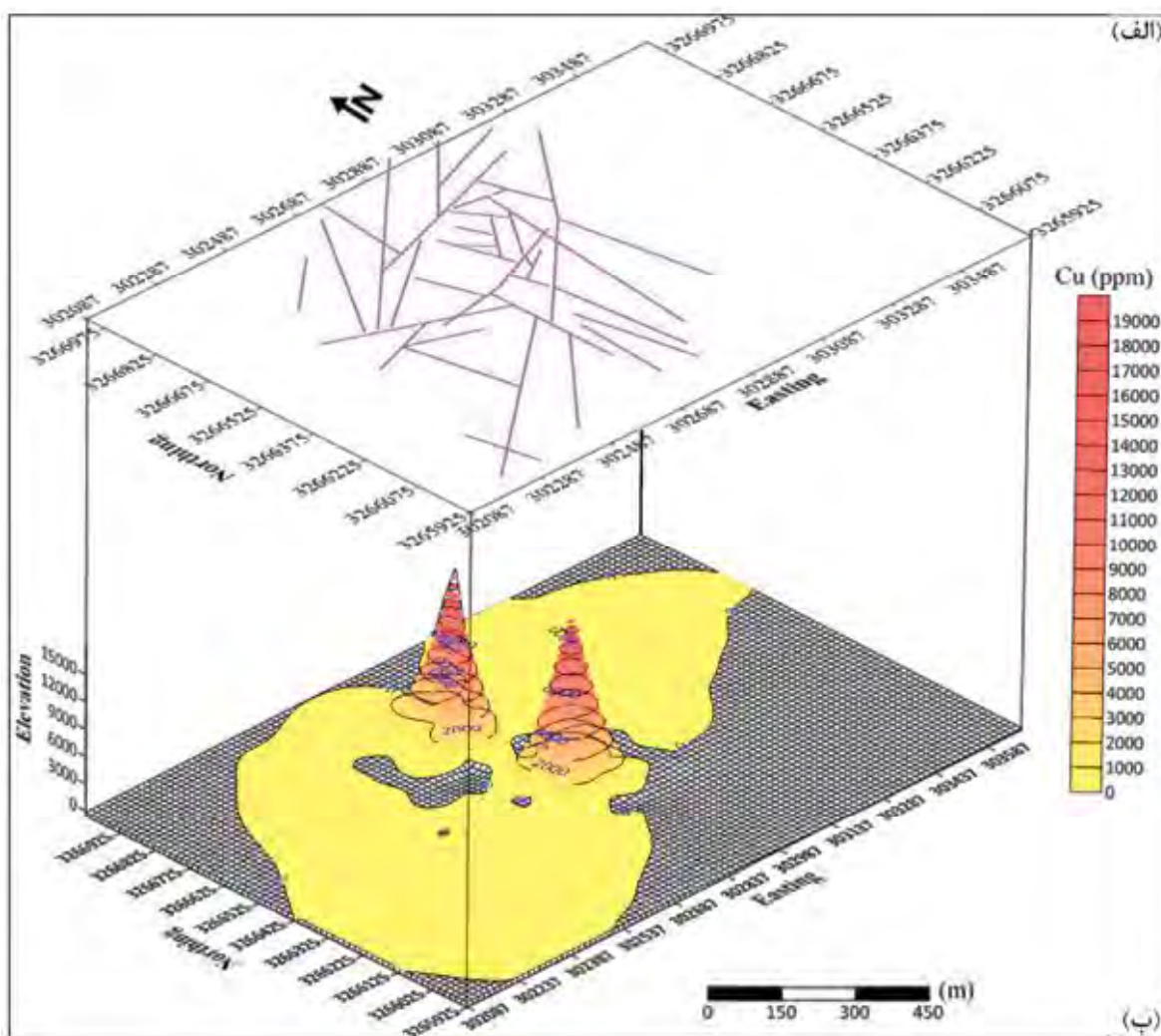


شکل ۱۲. نقشه هم‌عیار کانسار مس بشنی براساس عیار نمونه‌های نقطه‌ای و ترانشه‌های برداشت شده در پهنه مورد مطالعه، خطوط بنفسن رنگ نشان‌دهنده گسل‌های موجود در پهنه هستند

مطابق این شکل تغییرات عیار پهنه مورد مطالعه با کمترین مقدار صفر و بیشترین مقدار (12000 ppm) به ۱۲ بخش معدنی، از وسعت زیادی برخوردار نبوده و بخش بزرگی از ناحیه به ویژه بخش میانی، دارای عیار زیر ۴۰۰ ppm

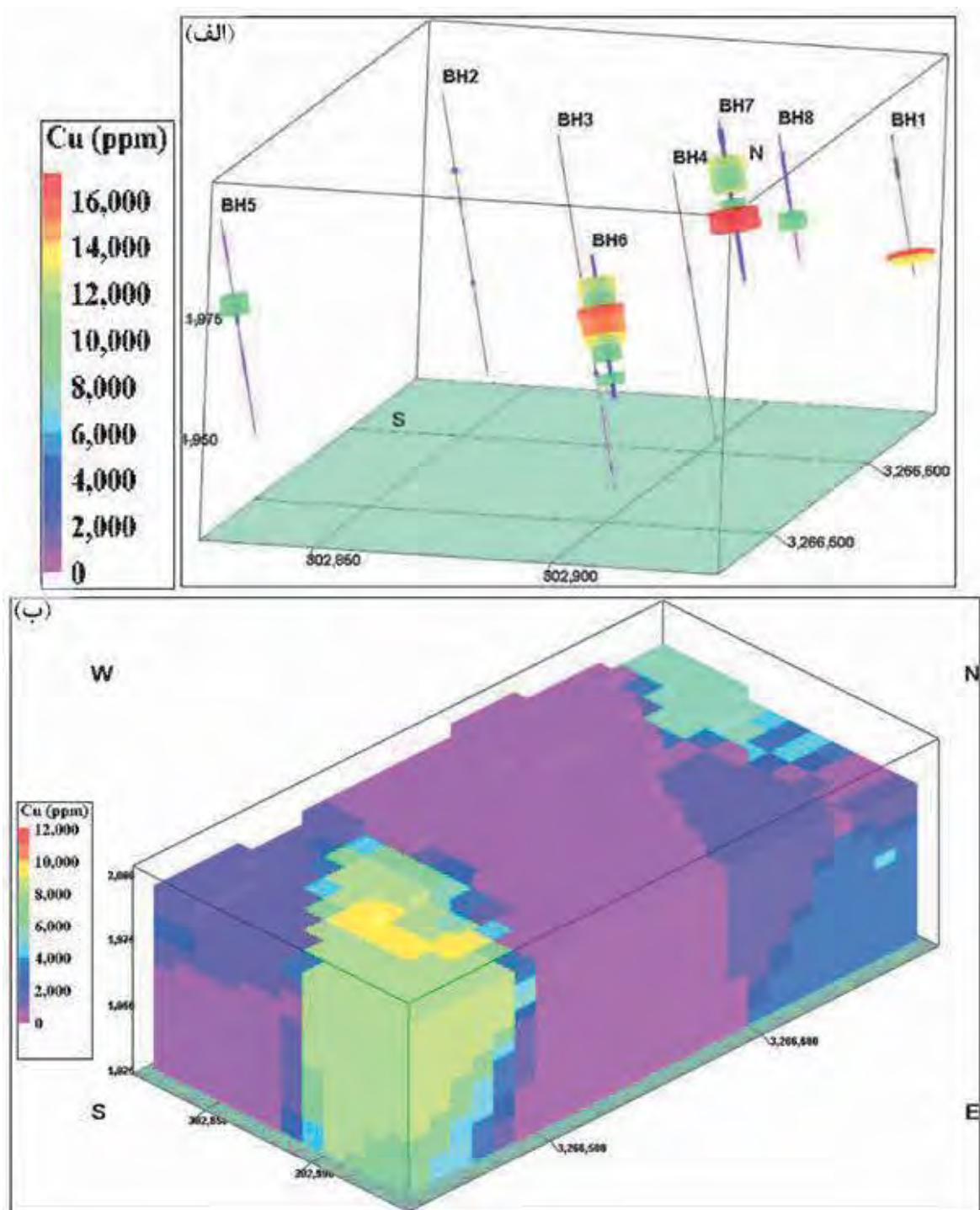
(با امتدادهای شمال شرقی-جنوب غربی و شمال غربی-جنوب شرقی) با یکدیگر است. به عبارت دیگر کانه‌زایی در اعماق پهنه مورد مطالعه نیز در ارتباط با شکستگی‌ها و گسل‌های موجود در پهنه می‌باشد.

(۴/۰ درصد) است. مطابق این شکل دو بخش پر عیار یکی در بخش شمال غربی و دیگری در بخش جنوب شرقی گستره حفر گمانه‌های اکتشافی وجود دارد. براساس شکل ۱۰ بخش شمال غربی محل تجمع و تقاطع چند گسل کوچک و بخش جنوب شرقی نیز محل تقاطع چند گسل اصلی



شکل ۱۳. (الف) نقشه دوبعدی موقعیت پراکندگی گسل‌های موجود در پهنه، (ب) نقشه سه‌بعدی عیارستنجی مس کانسار حاصل از نمونه‌های سطحی و ترانشه‌ها

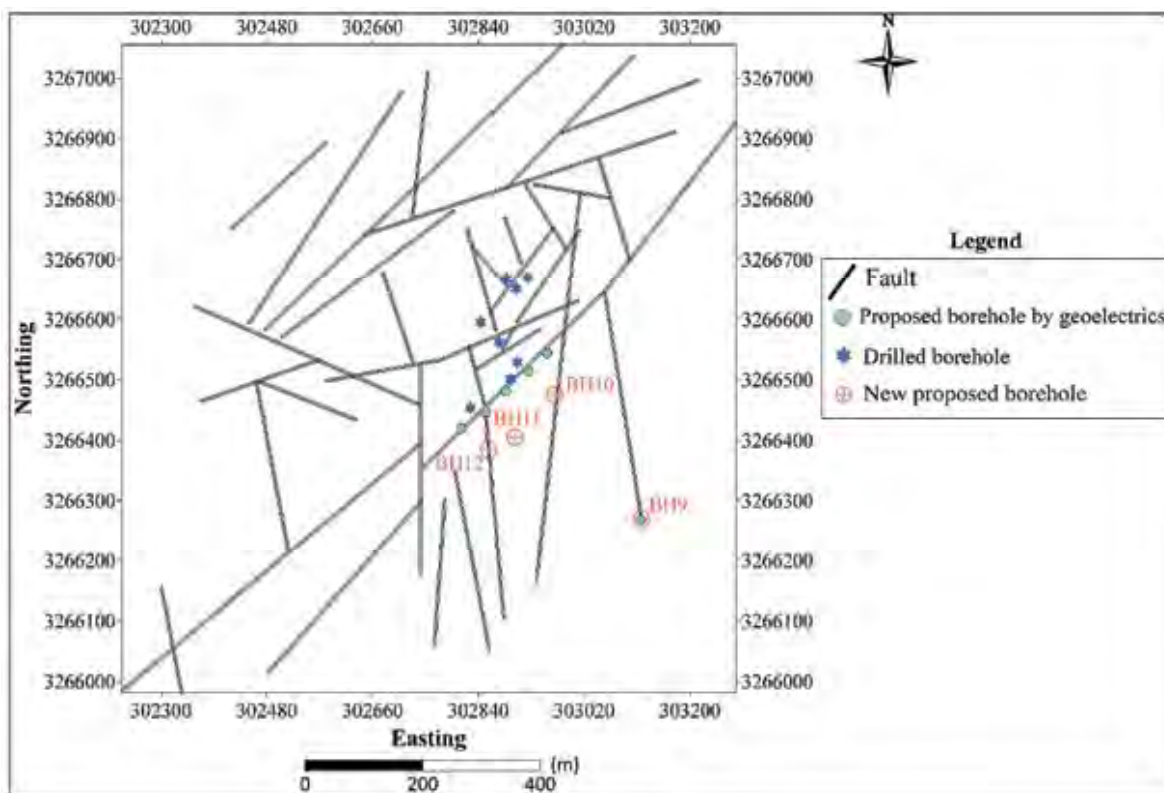
در پایان، به منظور تکمیل اکتشافات مراحل قبلی و شناخت بهتر پهنه مورد مطالعه، براساس تمام بررسی‌های انجام شده همانند مقاطع زئوفیزیکی دوقطبی-دقطبی (شکل ۷)، نقشه عیارستنجی نمونه‌برداری‌های سطحی و ترانشه‌ها (شکل ۱۲) و گمانه‌های اکتشافی حفر شده (شکل ۱۴)، حفاری چند حلقه گمانه اکتشافی جدید در موقعیت‌های مطابق جدول ۲ پیشنهاد می‌شود. البته شماره گمانه‌ها در این جدول به معنای ترتیب اولویت و اهمیت نقاط نیست. در شکل ۱۵ نیز موقعیت گمانه‌های پیشنهادشده قبلی براساس عملیات ژئوفیزیکی، گمانه‌های اکتشافی حفاری شده و گمانه‌های اکتشافی پیشنهادی جدید همراه با موقعیت گسل‌های موجود در پهنه مورد مطالعه نشان داده شده است. با توجه به این شکل هم مشاهده می‌شود که بیشتر گمانه‌های پیشنهادی جدید بر روی گسل قرار دارند.



شکل ۱۴. (الف) نمای سه بعدی چاهنگار عیارسنجدی گمانه‌های آکتشافی، (ب) مدل سه بعدی عیارسنجدی کانسار مس بشنۀ

جدول ۲. مشخصات و موقعیت جغرافیایی گمانه‌های آکتشافی پیشنهادی جدید

نام گمانه	طول جغرافیایی (متر)	عرض جغرافیایی (متر)	شیب (درجه)	طول (متر)
BH9	۳۰۳۱۱۷	۳۲۶۶۲۷۰	۹۰	۵۵
BH10	۳۰۲۹۷۰	۳۲۶۶۴۷۶	۹۰	۵۰
BH11	۳۰۲۹۰۲	۳۲۶۶۴۰۵	۹۰	۵۵
BH12	۳۰۲۸۵۷	۳۲۶۶۳۸۵	۹۰	۶۰



شکل ۱۵. موقعیت گمانه‌های پیشنهادشده براساس عملیات ژئوفیزیکی، گمانه‌های اکتشافی حفاری شده و گمانه‌های اکتشافی پیشنهادی جدید همراه با موقعیت گسل‌های موجود در پهنه مورد مطالعه

نتیجه‌گیری

عمیق‌تر، گمانه اکتشافی جدید حفر شود. البته گمانه‌های اکتشافی پیشنهادی جدید در اولویت هستند و باید از طریق بازدید صحرایی و بررسی دقیق وضعیت زمین‌شناسی محل، در خصوص انجام عملیات حفاری، تصمیم‌گیری نهایی صورت گیرد.

منابع

- احمدی، ر. و افضلی، ن.، ۱۳۹۶ الف. مدل‌سازی وارون هموار داده‌های ژئوفیزیکی اکتشافی کانسار سرب و روی حسین‌آباد خمین، دهمین همایش ملی زمین‌شناسی دانشگاه پیام نور، تبریز.
- احمدی، ر. و افضلی، ن.، ۱۳۹۶ ب. مدل‌سازی سه‌بعدی کانسار سرب و روی ریاضت خمین با استفاده از نرم‌افزار Rockworks، دهمین همایش ملی زمین‌شناسی دانشگاه پیام نور، تبریز.
- احمدی، ر. و رضاپور، م.ر.، ۱۳۹۸. پیشنهاد

براساس مطالعات زمین‌شناسی و بازدیدهای صحرایی در کانسار مس بشنۀ سیرجان، روند بیشتر رگه‌های سیلیسی و کانهدار در راستای گسل‌های اصلی است و بیانگر عملکرد کششی این دسته از گسل‌ها در پهنه می‌باشد. بیشتر دایک‌های پهنه نیز در راستای شکستگی‌های با راستای شمال شرقی-جنوب غربی یا شمال غربی-جنوب شرقی هستند. محل تلاقی گسل‌ها یا جناق‌ها از لحاظ دارا بودن رگه و رگچه سیلیسی، بخش استوکورکی و کانه‌زایی دارای اهمیت است. در پژوهش حاضر بیشتر بودن حضور کانه‌زایی فلزی در پهنه در حاشیه محل برخورد این گسل‌ها، براساس فعالیت‌های اکتشافی انجام شده در پهنه به اثبات رسید. بنابراین پیشنهاد می‌شود موقعیت گسل‌های موجود در پهنه به‌ویژه گسل‌های اصلی یک بار دیگر به‌طور دقیق مورد بازدید صحرایی قرار گیرند و در صورت نیاز به بررسی بیشتر سطحی در موقعیت خاص، ترانشه و در صورت نیاز به اکتشاف

- Geology (Geoscience Texts). Wiley Blackwell, 240.
- Keary, Ph., Brooks, M. and Hill, I., 2002. An Introduction to Geophysical Exploration. Third edition, Blackwell Science, 281.
 - Loke, M.H. and Barker, R.D., 1996. Rapid least-squares inversion of apparent resistivity pseudo-sections by a Quasi-Newton method. *Geophysical Prospecting*, 44, 131–152.
 - Loke, M.H. and Lane, J., 2002. The use of constraints in 2D and 3D resistivity modeling. The 8th EEGS-ES Meeting, Portugal.
 - Loke, M.H., 1999. Electrical imaging surveys for environmental and engineering studies: A practical guide to 2-D and 3-D surveys, 66.
 - Loke, M.H., 2000. Topographic modelling in resistivity imaging inversion. 62nd EAGE Conference and Technical Exhibition Extended Abstracts, Glasgow, Scotland.
 - Milsom, J., 2003. Field Geophysics. Third edition, John Wiley and Sons Ltd, 249.
 - Reynolds, J.M., 2011. An introduction to applied and environmental geophysics. Second edition, Reynolds Geo-Sciences, 710.
 - Shahrabi, M.A., Amanian, M. and Hafezi Moghaddas, N., 2017. Application of IP and Rs investigation method in exploration of copper ore in Kashmar. Proceedings of the 17th Iranian Geophysical Conference, Iranian Geophysical Society, Tehran, 21-23.
- موقعیت بهینه حفاری در کانسار مس پورفیری ناریابگی شمالی ساوه براساس مدل سازی داده های ژئوفیزیکی. مجله انجمن زمین شناسی مهندسی ایران، ۱۲، ۴، ۹۵-۱۲۱.
- احمدی، ر. و شریعتی زارچ، س.م.، ۱۳۹۹. بررسی تأثیر پارامترهای مختلف بر روی پاسخ اهداف مغناطیسی در روش مغناطیس سنجی با استفاده از مدل سازی پیش روی دو بعدی و سه بعدی. مجله انجمن زمین شناسی مهندسی ایران، ۱۳، ۳، ۱۵-۳۴.
- حسینی شهرکی، س.ج.، ۱۴۰۰. گزارش پایان عملیات اکتشافی مس بشنۀ سیرجان. ۷۱.
- کریم پور، م.ح. و سعادت، س.، ۱۳۹۶. زمین شناسی اقتصادی کاربردی. دانشگاه فردوسی مشهد، انتشارات ارسلان، ۵۳۶.
- کلاغری، ع.ا.، ۱۳۸۹. اصول اکتشافات ژئوفیزیکی. ناشر: مولف، تبریز، ۴۸۵.
- نجاری، م.، ۱۳۹۹. مطالعات ژئوفیزیک به روش IP/Rs در محدوده معدنی بشنۀ سیرجان-استان کرمان. ۷۴.
- نوروزی، غ.ح. و غلامی، س.، ۱۳۸۴. تحلیل و مدل سازی داده های ژئوفیزیکی (IP, Rs, M) در محل اندیس معدنی مس سوناجیل. نشریه دانشکده فنی، ۲، ۲۵۳-۲۶۵.
- Aliluo, S.K., Abedi, M. and Norouzi, G.H., 2018. IP-Rs geophysical 3D modelling of Cu-Fe skarns; A case study Ghalandar skarn deposit. Proceedings of the 18th Iranian Geophysical Conference, Iranian Geophysical Society, Tehran, 962-964.
- Evans, A.M., 2000. Introduction to Ore